

气候要素栅格化技术方法研究

袁爱民^{1,3} 王建源²

(1. 北京大学物理学院大气科学系, 100871;
2. 山东省气象中心; 3. 山东省金乡县气象局)

提 要: 为便于气候资源分析和农作物、果树等农业气候区划, 在分辨率为 $3'' \times 3''$ 栅格图上的每一点都对应相应的气候要素值, 利用泰安市及周围 19 个气象台站 1971—2000 年的气象资料, 采用三维二次趋势面分析与空间插值相结合等方法, 在地理信息系统 CityStar4.0 平台上对泰安市年平均气温、积温等热量资源进行栅格化。结果显示, 各项指标通过检验, 复相关系数均在 0.960 以上, F 检验值均大于 $F_{0.05}$ 。年平均气温、1 月平均气温和 7 月平均气温的平均绝对误差均在 0.5°C 以内; 日平均气温 $T_{\text{日}} \geq 0^{\circ}\text{C}$ 、 $T_{\text{日}} \geq 5^{\circ}\text{C}$ 、 $T_{\text{日}} \geq 10^{\circ}\text{C}$ 、 $T_{\text{日}} \geq 15^{\circ}\text{C}$ 的积温的相对误差均在 5% 以下。

关键词: 热量资源 地理信息系统 栅格化 栅格图

Research on Methodology for Rasterizing Meteorological Element ——A Case Study for Heat Resource in Tai'an City

Yuan Aimin^{1,3} Wang Jianyuan²

(1. Department of Atmospheric, School of Physics, Peking University, Beijing 100871;
2. The Meteorological Center of Shandong Province; 3. Jinxiang Meteorological Office, Shandong Province)

Abstract: In order to analysis the climate resource and agricultural climatic region , each spot has its corresponding climate value in the grid map of $3'' \times 3''$ resolution . The meteorological data of 19 meteorological stations during last 30 years (1971—2000) of Tai'an city were used. Under the geographic information system CityStar4.0 platform supporting, the method of two trends-surface of three-dimension analysis and combining with inserting value

资助项目: 山东省科学技术攻关计划项目, 山东省名特优果树产品 GIS 区划研究 (031060113)

收稿日期: 2005 年 6 月 15 日; 修定稿日期: 2006 年 2 月 6 日

of space were adopted. The grid maps of resolution $3'' \times 3''$ of Tai'an were produced. The result showed that, each target through the examination, the correlation coefficient are all above 0.960, the examining value of F are greater than $F_{0.05}$, average absolute errors of the annual mean temperature, the coldest monthly average temperature and the hottest monthly average temperature are less than 0. 5°C, relative error of the accumulated temperature of $\geq 0^\circ\text{C}$, $\geq 5^\circ\text{C}$, $\geq 10^\circ\text{C}$ and $\geq 15^\circ\text{C}$ are under 5%.

Key Words: heat resources geographical information system rasterization grid map

引言

在农业气候资源分析和农业气候区划中, 特别是基于 GIS 的第三次农业气候区划, 都需要将气候要素与地形等要素紧密结合起来, 因此将气候要素栅格化十分必要。随着 GIS 和计算机技术的发展, 自 20 世纪 80 年代起一些发达国家相继完成国土数值化, 在此基础上建立了不同空间分辨率的栅格气候数据库, 其应用研究也日趋活跃^[1]。美国、加拿大、欧洲等国家和地区的空间气象数据信息系统^[2], 基于 ANUSPUN 的澳大利亚、南非等国家的气象数据信息系统^[3], 此外, 在世界其他地方, 如印度卡纳塔克邦, 也建立了服务于各种研究目的的不同分辨率的栅格气象数据集。于贵瑞^[4]、任传友^[5]、廖顺宝^[6,7]等也对气象数据空间化进行了研究, 廖顺宝等还对气温数据栅格化的方法进行了比较。栅格数据由于地域单元小, 属性明显, 位置隐含^[8-10], 数据规范, 精度较高, 数据结构有利于空间分析, 并且可以在计算机上自由查阅和调用等优点, 为气候资源的分析和气候区划带来很大便利。热量资源是影响作物生长、发育和产量形成的主要因素之一, 同时直接影响作物的生物化学反应。进行热量资源分析, 通常用稳定通过一定界限温度的积温、无霜冻期, 最冷月与最热月平均气温等指标来反映热量资源的多少。本文主要从年平均温度、最冷月份

(1月) 平均温度、最热月份 (7月) 平均温度、日均气温 $T_{\text{日}} \geq 0^\circ\text{C}$ 、 $T_{\text{日}} \geq 5^\circ\text{C}$ 、 $T_{\text{日}} \geq 10^\circ\text{C}$ 、 $T_{\text{日}} \geq 15^\circ\text{C}$ 的积温来研究热量资源的空间化。

1 资料来源

气候资料来自 1971—2000 年泰山区、岱岳区、肥城、东平、宁阳、新泰以及济南、莱芜、沂源、蒙阴、平邑、泗水、曲阜、兖州、汶上、梁山、阳谷、平阴、长清等 19 个气象站点的观测资料, 地理信息数据采用中华人民共和国国家测绘局编制的中国 1:25 万数据。

2 热量资源的空间化方法

在空间化过程中主要是对无测站栅格点要素值的推算, 本文采用三维二次趋势面分析与空间插值相结合方法^[12], 采用 1980 年国家大地坐标系, 高斯-克吕格投影变换, 生成各图层的分辨率为 $3'' \times 3''$ 。

3 结果与分析

泰安市热量资源, 不管是年平均温度、最冷月、最热月, 还是积温, 其分布趋势基本上是相似的, 即泰山顶部最低, 其次是泰山山脉和徂徕山附近较低, 卞汶河、柴汶河、大汶河两岸最高。总体趋势是从西南向

东北方向递减。文中仅给出年平均气温、日均气温 $T_{\text{日}} \geq 0^{\circ}\text{C}$ 积温、1月份平均气温和7月份平均气温分布图,其它要素的栅格气候图由于篇幅所限省略。

3.1 年平均气温

泰安市年平均温度与海拔高度、纬度、经度拟合方程的复相关系数为0.988,如表

1, F 检验值为 $130.37 > F_{0.05}$, 标准差为0.28, 残差的绝对值在 $0.01^{\circ}\text{C} \sim 0.32^{\circ}\text{C}$ 之间, 相对误差在 $0.1\% \sim 2.1\%$ 之间, 回归效果极为显著。其分布范围一般在 $6.9^{\circ}\text{C} \sim 13.7^{\circ}\text{C}$ 之间, 与海拔高度的关系最为密切, 每升高100m, 气温降低大约 0.5°C , 如图1(a)。

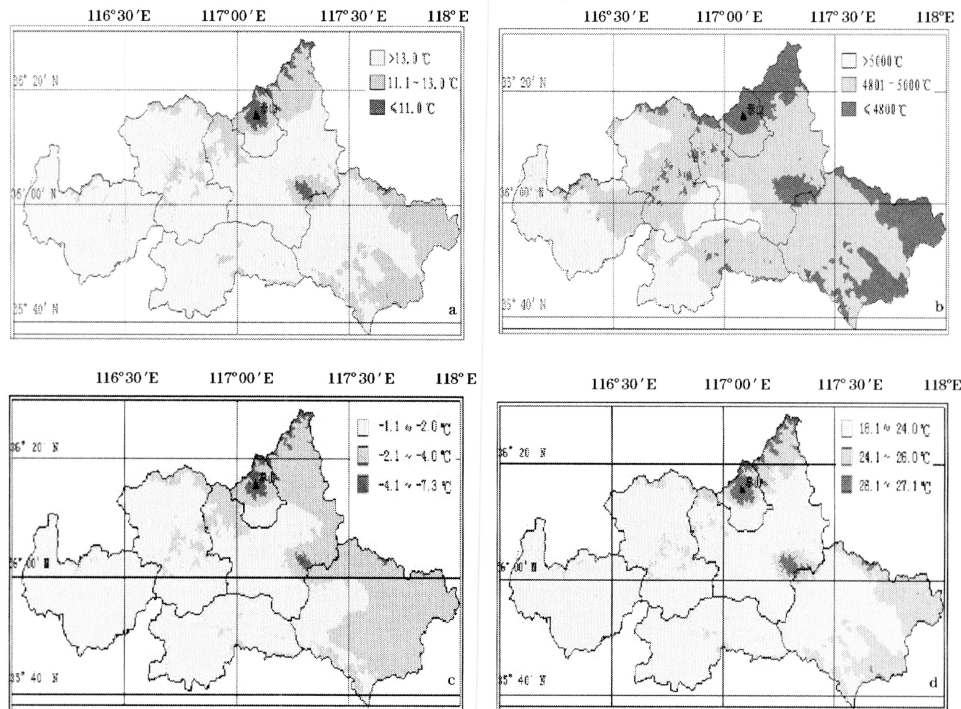


图1 泰安市年平均温度(a)、日均气温 $\geq 0^{\circ}\text{C}$ 积温(b)、1月份平均气温(c)和7月份平均气温(d)分布图(°C)

表1 热量要素与海拔高度、纬度和经度拟合方程的检验

要素	复相关系数	F值	标准差	绝对误差/°C	相对误差/%
年平均气温	0.988	130.37	0.28	0.01~0.32	0.1~2.1
1月平均温度	0.968	44.65	0.52	0.01~0.43	0.1~18.7
7月平均温度	0.987	553.66	0.20	0.01~0.28	0.0~1.0
日均气温 $\geq 0^{\circ}\text{C}$ 积温	0.987	112.85	63.79	5.20~125.63	0.1~2.6
日均气温 $\geq 5^{\circ}\text{C}$ 积温	0.985	98.04	58.02	5.86~150.01	0.2~3.1
日均气温 $\geq 10^{\circ}\text{C}$ 积温	0.993	233.04	86.95	1.50~90.12	0.0~2.0
日均气温 $\geq 15^{\circ}\text{C}$ 积温	0.988	125.78	130.33	4.61~164.52	0.3~4.2

3.2 最冷月和最热月平均温度

最冷月1月平均温度与海拔高度、纬度、经度拟合方程的复相关系数为0.968, F 检验值为 $44.65 > F_{0.05}$, 标准差为0.52, 残差的绝对值在 $0.01^{\circ}\text{C} \sim 0.43^{\circ}\text{C}$ 之间, 相对误差 $0.1\% \sim 18.7\%$, 回归效果显著。其分布范围一般在 $-6.7^{\circ}\text{C} \sim -1.2^{\circ}\text{C}$ 之间, 如图1(c)。最热月7月平均温度与海拔高度、纬度、经度拟合方程的复相关系数为0.987, F 检验值为 $553.66 > F_{0.05}$, 标准差为0.20, 残差的绝对值在 $0.01^{\circ}\text{C} \sim 0.28^{\circ}\text{C}$ 之间, 相对误差 $0 \sim 1.0\%$, 回归效果极为显著。其分布范围一般在 $18.7^{\circ}\text{C} \sim 26.9^{\circ}\text{C}$ 之间, 如图1(d)。

3.3 农业界限温度

泰安市日平均温度 $\geq 0^{\circ}\text{C}$ 积温与海拔高度、纬度、经度拟合方程的复相关系数为0.987, F 检验值为 $112.85 > F_{0.05}$, 标准差为63.79, 残差的绝对值在 $5.20^{\circ}\text{C} \sim 125.63^{\circ}\text{C}$ 之间, 相对误差 $0.1\% \sim 2.6\%$, 回归效果极为显著。其分布范围一般在 $2734^{\circ}\text{C} \sim 5067^{\circ}\text{C}$ 之间, 如图1(b)。日平均温度 $\geq 5^{\circ}\text{C}$ 积温与海拔高度、纬度、经度拟合方程的复相关系数为0.985, F 检验值为98.04> $F_{0.05}$, 标准差为58.02, 残差的绝对值在 $5.86^{\circ}\text{C} \sim 150.01^{\circ}\text{C}$ 之间, 相对误差 $0.2\% \sim 3.1\%$, 回归效果极为显著。其分布范围一般在 $2699^{\circ}\text{C} \sim 4991^{\circ}\text{C}$ 之间。日平均温度 $\geq 10^{\circ}\text{C}$ 积温与海拔高度、纬度、经度拟合方程的复相关系数为0.993, F 检验值为233.04> $F_{0.05}$, 标准差为86.95, 残差的绝对值在 $1.50^{\circ}\text{C} \sim 90.12^{\circ}\text{C}$ 之间, 相对误差 $0.0 \sim 2.0\%$, 回归效果极为显著。其分布范围一般在 $2250^{\circ}\text{C} \sim 4682^{\circ}\text{C}$ 之间。日平均温度 $\geq 15^{\circ}\text{C}$ 积温与海拔高度、纬度、经度拟合方程的复相关系数为0.988, F 检验值为

$125.78 > F_{0.05}$, 标准差为130.33, 残差的绝对值在 $4.61^{\circ}\text{C} \sim 164.52^{\circ}\text{C}$ 之间, 相对误差 $0.3\% \sim 4.2\%$, 回归效果极为显著。其分布范围一般在 $1476^{\circ}\text{C} \sim 4154^{\circ}\text{C}$ 之间。

4 结语

在CityStar4.0系统平台上, 采用三维二次趋势面模拟与空间插值相结合等方法, 对热量资源等气候要素进行空间化, 生成分辨率为 $3'' \times 3''$ 栅格图。经检验: 年平均气温、最冷月平均气温和最热月平均气温平均绝对误差在 0.5°C 以内; 0°C 、 5°C 、 10°C 、 15°C 以上的积温平均相对误差在5%以下, 其精度基本上达到了实用要求。研究表明, 经过地理信息系统空间化后的栅格气候数据和气候图, 极大地拓宽了气候资料的应用领域, 也为其它学科的发展提供了重要的基础数据。

参考文献

- Steph J Jeffrey, John, O Cater. Using spatial interpolation to construct a comprehensive archive of Australian climate data [J]. Environmental Modeling & Software, 2001, 16: 309-330.
- Daly C, G H Taylor, W P Gibson. The PRISM approach to mapping precipitation and temperature. In Amer. Meter. Soc. Proc. 10th AMS Conf. On Applied Climatology Meteorological Soc., NV. Boston, Mass: Amer. Meteor. Soc., 1997, 20-23, 10-12.
- Christopher Daly, George H Taylor. Development of high-Quality Spatial Climate Datasets for the United States [DL]. <http://www.ocs.orst.edu/eim98.html>. 2002.
- 于贵瑞, 何洪林, 刘新安, 等. 中国陆地生态信息空间化技术研究(I) [J]. 自然资源学报, 2004, 19(4): 537-543.
- 任传友, 于贵瑞, 刘新安, 等. 东北地区热量资源栅格化信息系统的建立与应用 [J]. 资源科学, 2003, 25(1): 66-71.
- 廖顺宝, 李泽辉. 气温数据栅格化中的几个具体问题

- [J]. 气象科技, 2004, 32 (5): 352-356.
- 7 廖顺宝, 李泽辉, 游松财. 气温数据栅格化的方法及其比较 [J]. 资源科学, 2003, 25 (6): 75-80.
- 8 吴信才. 地理信息系统原理与方法 [M]. 北京: 电子工业出版社, 2002: 40-41.
- 9 邬伦, 刘瑜, 马修军等. 地理信息系统—原理、方法和应用 [M]. 北京: 科学出版社, 2001: 321-323.
- 10 毕硕本, 王桥, 徐秀华等. 地理信息系统软件工程的原理和方法 [M]. 北京: 科学出版社, 2003: 300-303.
- 11 刘新安, 于贵瑞, 范辽生, 等. 中国陆地生态信息空间化技术研究 (Ⅲ) — 温度降水要素 [J]. 自然资源学报, 2004, 19 (6): 818-825.
- 12 王建源, 冯晓云. 基于 GIS 的主要农业气候资源分析 [J]. 中国农业气象, 2004, 25 (3): 77-80.